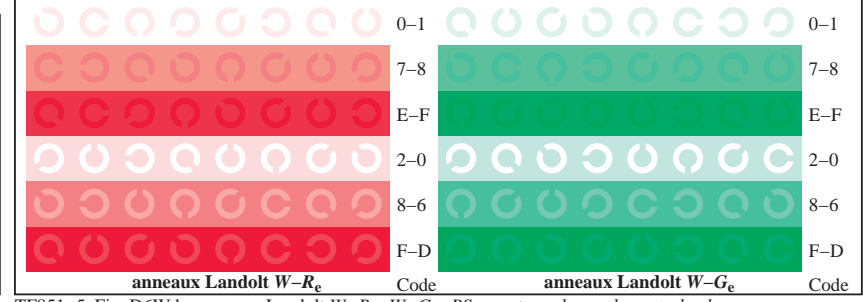


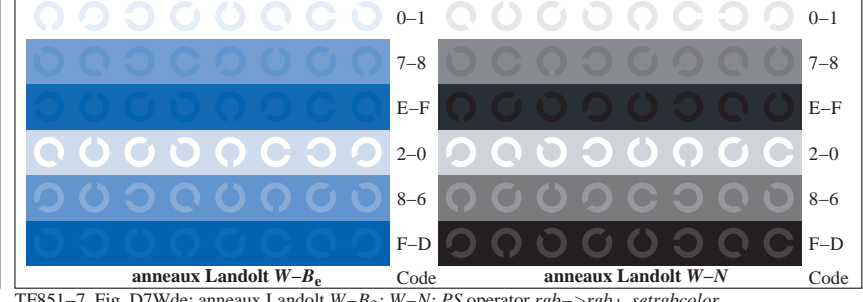
TF851-1, Fig. D4Wde: 16 équidistants étapes  $W-R_e; W-G_e; W-B_e; W-N$ ;  $rgb/cmy0 \rightarrow rgb_{de}$  setrgbcolor

+-.: Q	O	C	O	C	O	C	O	C	O	C	O	C	O	C	O	C	O	uvw	O	C	O	O	
xyz;	O	O	O	O	O	O	O	O	O	O	O	O	O	O	O	O	O	pqr	O	C	O	O	
tuvw	O	O	O	O	O	O	O	O	O	O	O	O	O	O	O	O	O	lmno	O	C	O	O	
pqrs	O	O	O	O	O	O	O	O	O	O	O	O	O	O	O	O	O	defg	O	C	O	O	
lmno	O	O	O	O	O	O	O	O	O	O	O	O	O	O	O	O	O	!abc	O	C	O	O	
hijk	C	C	C	C	C	C	C	C	C	C	C	C	C	C	C	C	C	+-.:	O	C	O	O	
defg	O	O	O	O	O	O	O	O	O	O	O	O	O	O	O	O	O	xyz;	O	C	O	O	
!abc	O	O	O	O	O	O	O	O	O	O	O	O	O	O	O	O	O	tuvw	O	C	O	O	
																		defg	O	C	O	O	
																		!abc	O	C	O	O	
																		6	N	R_e	G_e	B_e	Z
																		8	N	R_e	G_e	B_e	Z
																		10	N	R_e	G_e	B_e	Z

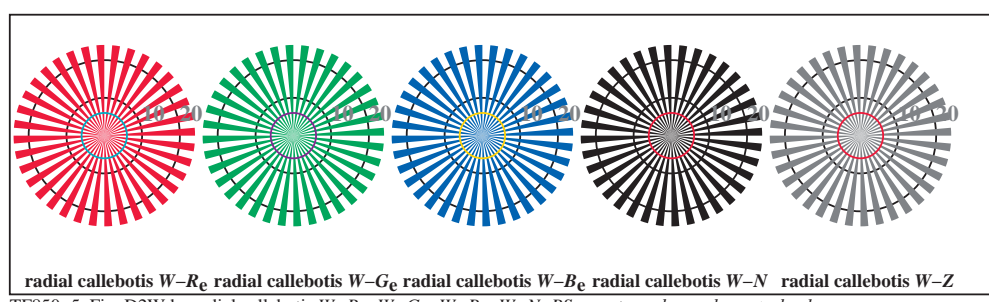
TF851-3, Fig. D5Wde: code et Landolt anneau  $N; R_e; G_e; B_e; Z$ ; PS operator  $rgb \rightarrow rgb_{de}$  setrgbcolor



TF851-5, Fig. D6Wde: anneaux Landolt  $W-R_e; W-G_e$ ; PS operator  $rgb \rightarrow rgb_{de}$  setrgbcolor

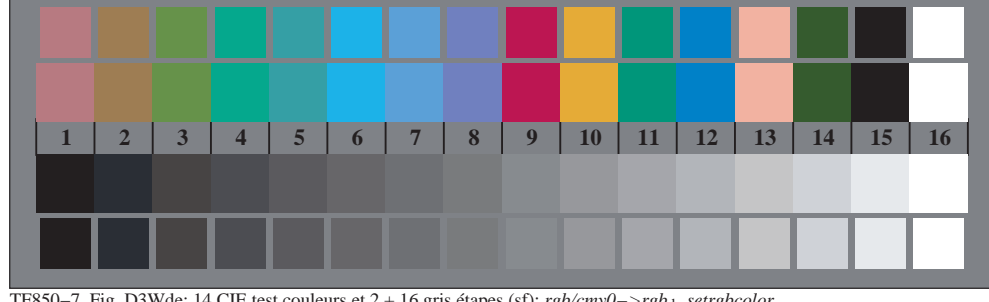


TF851-7, Fig. D7Wde: anneaux Landolt  $W-B_e; W-N$ ; PS operator  $rgb \rightarrow rgb_{de}$  setrgbcolor



radial callebotis  $W-R_e$  radial callebotis  $W-G_e$  radial callebotis  $W-B_e$  radial callebotis  $W-N$  radial callebotis  $W-Z$

TF850-5, Fig. D2Wde: radial callebotis  $W-R_e; W-G_e; W-B_e; W-N; W-Z$ ; PS operator  $rgb \rightarrow rgb_{de}$  setrgbcolor



TF850-7, Fig. D3Wde: 14 CIE test couleurs et 2 + 16 gris étapes (sf);  $rgb/cmy0 \rightarrow rgb_{de}$  setrgbcolor